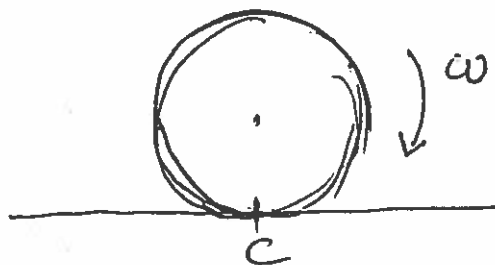


## MOTO DI PURO ROTOLAMENTO

Caso interessante in cui l'asse di rotazione non è un asse materiale, con cuscinetti e supporti come negli esempi precedenti, ma un asse geometrico che si sposta parallelemente a se stesso attorno al CR.

Cilindro (ruota) rotolante senza strisciare sotto l'azione di una forza esterna (esempio: cerchio o ruota su piano inclinato) o di un momento.



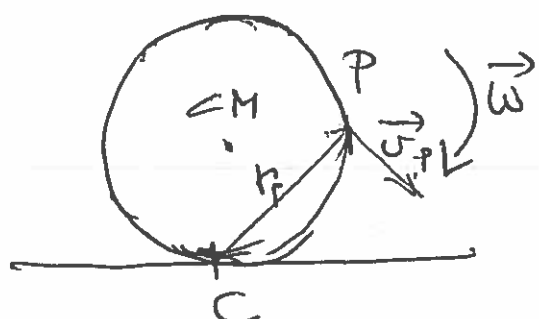
- Rotazione attorno all'asse delle ruote (CR pu CR a simmetria cilindrica)

Nel moto rotolamento il punto di contatto C è fisso nell'istante t, per un intervallo infinitesimo att. In un istante successivo il punto di contatto cambia, ma è ancora un punto fisso rispetto al piano:  $\vec{r}_c = 0$  e  $\vec{r}_{c'} = 0$  nei rispettivi istanti di contatto con il piano di riferimento.

→ L'asse geometrico trae, ma il punto (linea) di contatto definisce un asse istantaneo di rotazione fino nel riferimento iniziale

Il moto di rotazione attorno a C ha velocità angolare  $\vec{\omega}$  (indip. dall'asse per assi //).

La velocità di ogni punto delle ruote, rispetto a C è:  $\vec{v}_P = \vec{\omega} \times \vec{r}_P$



Poiché  $\vec{\omega}$  è ortogonale nel foglio (verso come z per rotat. destra)  $\vec{\omega}$  è ortogonale a  $\vec{r}_P$  e con verso a dx nel disegno

Per il CM:  $\vec{v}_{CM} = \vec{\omega} \times \vec{r}_{CM}$  // al piano di rotolamento

$$\Rightarrow \boxed{v_{CM} = \omega r}$$

Velocità di avvicinamento del CM rispetto al rif. inerziale con  $r =$  raggio della ruota

Poiché  $r$  è ~~forse~~ costante (definito dalla form. del CM)

Vale anche

$$\boxed{a_{CM} = \alpha r}$$

per l'accelerazione lineare e tangolare

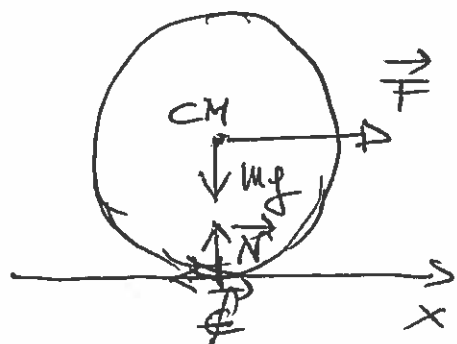
$\Rightarrow$  Nel moto di pura rotolamento, il moto di rotazione attorno al CM e il moto di avvicinamento del CM non sono indipendenti

NOTA: ~~Riferimento~~ Il rotolamento avviene in vista di una forza di attrito (statico!) applicata nel punto di contatto. In assenza di attrito il corpo rigido scivolerrebbe sul piano con moto traslato ( $v_P = v_{CM}$ ) dei suoi punti.

Risolviamo il problema dinamico per due casi differenti : i) Forza esterna parallela al piano di rotolamento (v. caso tirito, oppure moto su piano inclinato), ii) Momento torcente attorno al CM (es: moto azionato da motore)

### i) Forza esterna

Diagramma delle forze



Eq. del moto :

$$1) \vec{F} + \vec{R} + \vec{mg} = m\vec{a}_{CM}$$

$\vec{R}$  = reazioni vincolari :  
forza normale e forza di attrito

$$2) M_z = I_z \alpha$$

Scomposizione negli assi :

$$\text{Aste } x : F - f = m a_{CM}$$

$$\text{Aste } y : N - mg = 0$$

→ non c'è accelerazione nel piano verticale

Per il momento attorno possiamo scegliere il polo in due modi convenienti : nel CM o in C. La dinamica non dipende dalla scelta del polo, mentre  $M$  e  $L$  ne dipendono.

$$\underline{\text{Polo in CM}} : r_f = I \alpha \equiv I \frac{a_{CM}}{r} \quad (z1)$$

$$\underline{\text{Polo in C}} : r_F = I_c \alpha = I_c \frac{a_{CM}}{r} \quad (z2)$$

→ punto fisso (istant.), per cui  $\tau \rightarrow \frac{dL}{dt}$

→ punto materiale per cui  $\tilde{\tau} = \frac{dL}{dt}$

Sappiamo, da prop. generali delle eq. cardinali,<sup>(10)</sup>  
 che la soluzione del problema dinamico è  
 indipendente dalla scelta del polo - Infatti  $(z_1)$   
 e  $(z_2)$  sono la stessa eguat. a meno di un termine  
 determinato dalla 1<sup>a</sup> eq. cardinale (teo. del CDM) :

Per verificarlo, sottraiamo  $(z_1)$  da  $(z_2)$ :

$$nF - rf = I_c \alpha - I \alpha$$

$$n(F-f) = (I_c - I) \alpha$$

$$r(F-f) = (I + mR^2 - I) \alpha$$

$$F-f = m \alpha r$$

$$F-f = m \alpha_{CM} \quad \leftarrow \text{Nel moto di pura rotazione le eq.}$$

$(z_1)$  e  $(z_2)$  differiscono solo per un termine che soddisfa l'eq. per il moto del CDM - c.v.d.

Risolviamo il moto usando  $(z_2)$  -  $\#$

$$\begin{cases} F-f = m \alpha_{CM} \\ nF = (I_0 + m r^2) \alpha_{CM} / r \end{cases}$$

Due equazioni e due incognite  $\alpha_{CM}$  e  $f$   
 (le incognite sono 2, poiché le eq. sono accoppiate  
 dalla condizione  $\alpha_{CM} = \alpha_R$ )

Dall'equazione anglare :

$$a_{\text{cm}} = \left( \frac{m r^2}{I + Mr^2} \right) \frac{F}{m} \Rightarrow a_{\text{cm}} < \frac{F}{m}$$

L'ac è sempre minore dell'ac di un punto materiale - La forza oltre a spostare il C.G.M mette in rotazione il sistema -

- Ruota	$I = Mr^2$	$a_{\text{cm}} = \frac{F}{2m}$
- Disco	$I = \frac{1}{2}Mr^2$	$a_{\text{cm}} = \frac{2}{3} \frac{F}{m}$
- Sfera dura	$I = \frac{2}{3}Mr^2$	$a_{\text{cm}} = \frac{3}{5} \frac{F}{m}$
- Sfera piena	$I = \frac{3}{5}Mr^2$	$a_{\text{cm}} = \frac{5}{8} \frac{F}{m}$

- Per la forza di attrito :

$$f = F - Ma_{\text{cm}} = \frac{I}{I + Mr^2} \neq$$

Le condizioni di piano rotolamento richiedono  $f \leq \mu_s N$  - Ossia :

$$\begin{aligned} F = \left( \frac{I + Mr^2}{I} \right) f &\leq \left( \frac{I + Mr^2}{I} \right) \mu_s N \\ &\leq \left( \frac{I + Mr^2}{I} \right) \mu_s mg \end{aligned}$$

Esiste una  $F_{\text{max}}$  al di sopra della quale il corpo scivola

Per un cilindro omogeneo  $I = \frac{1}{2}Mr^2$  e (101)

$$F = 3f \leq 3\mu_s mg$$

In generale  $I = mk^2$  con  $k^2$  = RAGGIO GIRATORE  
(raggio per  $I$  equil. con massa  
a distanza  $k$  dall'emo)

$$f = \frac{Mk^2}{mk^2 + Mr^2} F \rightarrow F = \left(1 + \frac{r^2}{k^2}\right) f$$

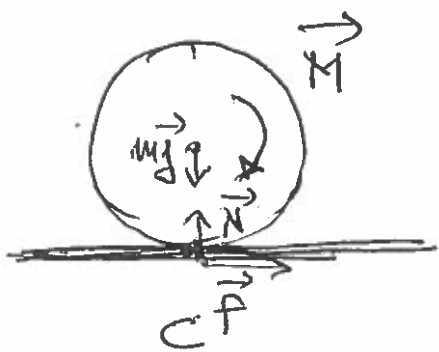
-

Verificare per esercizio che la soluzione del problema  
non dipende delle rette del polo, ristretto  
esplicitamente il sistema usando per la rotazione  
l'eq. (Z1) o (Z2) - [si vedi Mazzatorta]

(Noi abbiamo ~~dimostrato~~ <sup>sfruttato</sup> la non dipendenza dal polo, per  
scrivere un sistema più rapido da risolvere)

(10)

## ii) Momento di coppia applicato all'asse delle ruote



In assenza di attrito le ruote si instancerebbe sul piano e non ci sarebbero forze esterne tali da determinare il moto di avventamento delle ruote -

ha  $\vec{f}$  di attrito dove dunque esso deve circolare nel stesso verso del moto. Questo esempio chiarisce che l'espressione comune "l'attrito è sempre opposto al verso del moto" non è precisa. Una formulazione più precisa è: "l'attrito è opposto al verso di scorrimento tra le superfici di contatto". (espressione valida anche nel caso precedente) -

Eq. del moto

Aste x

Aste y

Moto di rotazione

$$\begin{cases} f = m a_{CM} \\ N - m g = 0 \\ M - n f = I \frac{a_{CM}}{r} \end{cases} \quad \text{Polo in CM}$$

oppure

$$M = I_c \frac{a_{CM}}{r^2} = (I + m r^2) \frac{a_{CM}}{r} \quad \text{Polo in C}$$

$$\begin{cases} a_{CM} = \frac{Mr}{I + mr^2} \\ f = \frac{Mmr}{I + mr^2} \leq \mu_s m g \end{cases}$$

Caso generale, se  $\vec{F} \rightarrow$  su  $M \Rightarrow$  il  
verso di  $\vec{f}$  non è determinato a priori, ma va  
ricercato delle soluzioni del problema.  
fa forza può essere acceleratrice o frenante, ...

Rimanendo ai casi esemplificativi presentati, analiz=  
ziamo il problema in termini di energie.

### En. cinetica

- Teorema di Koenig : en. cinetica nel riferimento  
inertiale è la somma dell'en. cinetica di traslazione  
del CM e dell'energia del moto relativo al CM.

$$E_k = \frac{1}{2} m v_{CM}^2 + \frac{1}{2} I \omega^2$$

- Possiamo esprimere  $E_k$  in riferimento al gto C . In  
quel caso il moto è di pura rotazione, poiché  
C è fissa rispetto al sistema ineriale:

$$\begin{aligned} E_k &= \frac{1}{2} I_C \omega^2 = \frac{1}{2} (I + m r_{CM}^2) \omega^2 \quad (\text{H. Stoker}) \\ &= \frac{1}{2} I \omega^2 + \frac{1}{2} m (r \omega)^2 \quad (\delta = \omega r) \end{aligned}$$

Qs. espressione coincide con quella del teorema  
di Koenig. L'en. cinetica c'è la medesima  
per un gto parallelo all'asse di rotazione.

Si ricordi che, anche se  $E_k$  e  $\omega$  dipendono dal  
riferimento, il teorema dell'en. cinetica è sempre valido

(1x)

Termini di lavoro e energia cinetica:

$$\Delta E_k = \Delta \left( \frac{1}{2} m v_{cm}^2 \right) + \Delta \left( \frac{1}{2} I \omega^2 \right),$$

$$= m v_{cm} \Delta v_{cm} + I \omega \Delta \omega,$$

$$= M \alpha_{cm} v_{cm} \Delta t + I \alpha \omega \Delta t,$$

$$= F_{tot} \Delta s_{cm} + M_{tot} \Delta \phi$$

$$= W_F + W_M$$

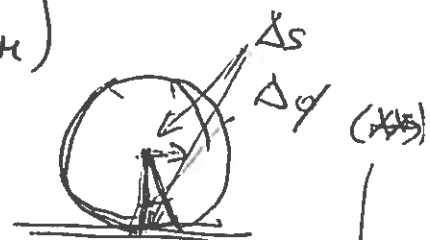
lavoro delle  
zivoltante di  $F_{tot}$   
(spat. del CM)

lavoro del  
momento torcente  
(rotazione angolare  $\Delta\phi$ )

caso i)  $F \parallel$  al piano di rotolamento

$$\Delta E_k = (F - f) \Delta s_{cm} + r f \Delta \phi$$

$$= F \Delta s_{cm} + f (r \Delta \phi - \Delta s_{cm})$$



\* Puro rotolamento  $r \Delta \phi = \Delta s_{cm}$

$\rightarrow \Delta E_k$  coincide con il lavoro di  $F$ , non  
c'è dissipazione dovuta agli attriti (f non  
lavora, c'è quanto fico)

(\*\*) Sappiamo che  
 $v_{cm} = \omega r$  cioè  
 $\frac{\Delta s_{cm}}{\Delta t} = \frac{\Delta \phi}{\Delta t} r$ , perché  
non si fa

~~$\Delta s_{cm} = r \Delta \phi \Rightarrow \Delta E_k$~~

(15)

$$*) \text{ Se } r\Delta\phi < \Delta s_{ch} \implies \Delta E_k < f\Delta s_{ch}$$

c'è scivolamento e dissipazione di energia:  
non tutta il lavoro di  $F$  si traduce in energia  
cinetica

$$**) r\Delta\phi > \Delta s_{ch} \text{ no} \rightarrow \text{rotolamento}$$

più rapido dello spostamento (ruote che slittano senza avanzamento). Questo caso si può realizzare solo con immissione di lavoro non incluso nell'analisi precedente (altrimenti si troverebbe  $\Delta E_k >$  lavoro immesso), ~~ma~~ da unico  
momento torcente applicato all'elenco ruote

ii) Momento torcente assiale:

$$\Delta E_k = f\Delta s_{ch} + (\tau - rf)\Delta\phi$$

$$= \underbrace{\tau\Delta\phi}_{\substack{\text{lavoro del} \\ \text{momento torcente}}} + f(\Delta s_{ch} - r\Delta\phi)$$

~~wheel~~

$$*) \text{ Puro rotolamento } \Delta s_{ch} = r\Delta\phi \implies \Delta E_k = \tau\Delta\phi$$

$$**) r\Delta\phi > \Delta s_{ch} \rightarrow \Delta E_k < \tau\Delta\phi$$

energia dissipata, ricislamento delle ruote

# CASI DI SPECIE

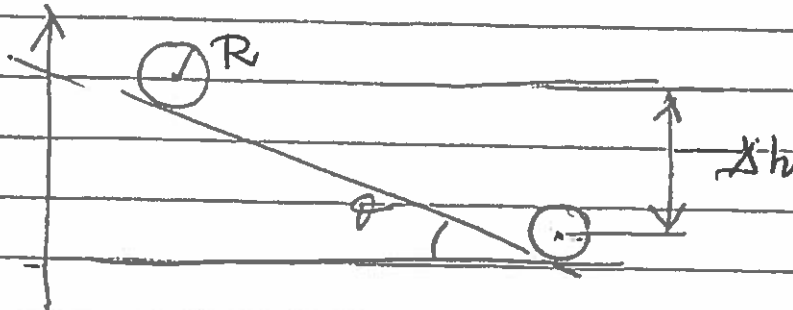
1

CR 4.

## DI MOSTRAZIONE EPIRICA + ANALISI DELL'ENERGIA

Esempio: Puro rotolamento su piano inclinato secco

- Trovare  $J_f$ , per  $J_i = 0$  e  $W_i = 0$



Nel moto di puro rotolamento non c'e' dissipazione di energia ( $\Delta S_{ch} = R \Delta \phi$ )

$E_m$  e' conservato:  $\Delta E_k = -\Delta E_p$

Risolvendo <sup>(\*)</sup>:  $J_f = \left[ \frac{2g \Delta h}{1 + k^2/R^2} \right]^2$

con  $k = \text{raggio giante del CR}$   
definito da  $I_z = \frac{1}{2} m k^2$

$$\frac{k^2}{R^2} = 1 \text{ anello; } \frac{1}{2} \text{ cilindro; } \frac{2}{3} \text{ sfere reg. } \frac{2}{5} \text{ sfere ecc.}$$

$\frac{2}{5}$  sfera ecc.

$$(*) \text{ in modo esplicito } E_k = \frac{1}{2} I \dot{\varphi}^2 + \frac{1}{2} I \omega^2$$

$$= \frac{1}{2} M J_{cm}^2 + \frac{1}{2} I R^2 \left( \frac{k^2}{R^2} \right) \omega^2$$

... ecc.

$$\text{Si noti che } \sigma_f = \left[ \frac{2g\Delta h}{1 + \frac{t^2}{R^2}} \right]^{\frac{1}{2}} < [2g\Delta h]^{\frac{1}{2}}$$

- La velocità finale del CM c'è sempre minore di quella che si avrebbe su un piano perfettamente liscio
- Non c'è dissipazione di energia, ma il lavoro dell'~~debole~~ forza peso è in parte trasferito al moto di traslazione e in parte al moto di rotazione
- La velocità finale del CM è tanto minore quanto maggiore è il momento di inerzia

### Nota: ATTRITO VOLVENTE

- In realtà c'è dissipazione anche nel moto di puro rotolamento, perché il punto di contatto non è un punto ideale  
Si può schematizzare l'attrito volvente immaginando che il punto di contatto non sia sulla verticale delle forze peso  
In questo caso la reazione normale sviluppa un momento volvente rispetto al punto di contatto  $c = r_x = \delta R$   
con  $\delta$  distanza del punto di contatto da cui  $\delta$  è un parametro empirico

\* DEDICAZIONE ENERGETICA  
+ ANALISI DEL MOTO

(2)

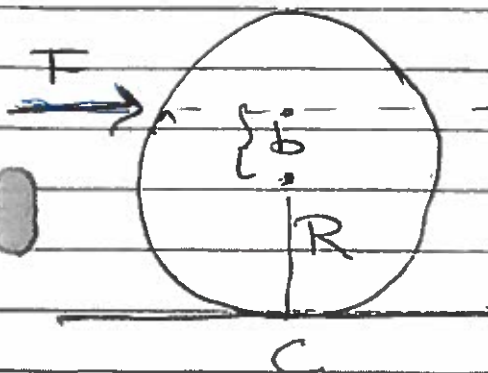
Esempio 2 : strisciamento  $\rightarrow$  Rotolamento

\* Lancio di un oggetto su piano scabro con  $V_i \neq 0$  e  $\omega_i = 0$

[e più in generale con  $S_i \neq R\omega_i$ , cioè moto iniziale non è di puro rotolamento]

\* In questo caso la soluzione tramite la conservazione dell'energia meccanica non è possibile

\* L'esempio in discussione è un colpo carrettistico che si verifica, ad esempio, quando un corpo appoggiato sopra una superficie scabra viene messo in moto da una forza impulsiva (es. palla da biliardo)



Forza impulsiva  $\vec{F} > f_P$

$$\vec{J} = \int_0^T \vec{F} dt = \Delta \vec{P}$$

Momento impulsivo :

$\vec{J} = \text{parametro di impatto} \rightarrow \vec{J} = \int_0^T \vec{r} \times \vec{F} dt =$

$C$ , cdM e punto su cui agisce  $\vec{F}$

complanari (in un piano verticale)

$$= \vec{r} \times \int_0^T \vec{F} dt = \Delta \vec{L}$$

perché  $r = \text{cost}$  durante tutto l'impulso

Prima dell'urto, righe a riposo:

$$\Sigma_i^r = 0, \omega_i^r = 0 \Rightarrow p_i^r = 0; L_i^r = 0$$

Dopo l'urto: teorema dell'impulso e del momento dell'impulso:

$$(1) J = m v_f \quad v = v_{CM}$$

$$(2) \pm b J = I_{CM} \omega_f \quad \text{polo nel CM}$$

$b \geq 0$  per urto sopra il CM,  $\omega_f > 0$   
 $-b < 0$  per urto sotto il CM,  $\omega_f < 0$

Pur urto centrale,  $b = 0$ ,  $\omega_f = 0$  e il moto è di puro strisciamento

Altivamente il corpo ruota, ma con velocità di rotazione t.c. in genere

$$R \omega_f \neq v_f \rightarrow \text{non è possibile}$$

In realtà, combinando (1) e (2)

$$m v_f = I_{CM} \omega_f$$

La condizione di puro rotolamento ( $v_f = R \omega_f$ ) è realistica solo se:

$$b = I_{CM} / M R$$

Nota: il risultato non dipende dalla scelta del polo (come sappiamo).

Ad esempio, se scegliessimo il polo nel punto di contatto C, scriveremmo:

$$(1) \quad J = m\omega_f$$

$$(2) \quad (R \pm b)J = I_C \omega_f \quad \text{polo in } C$$

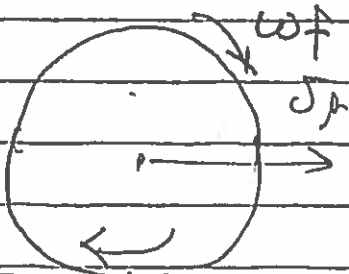
$$= \left( I_{CM} + mR^2 \right) \omega_f \quad \begin{matrix} \text{teor.} \\ \text{asse parallelo} \end{matrix}$$

Utilizzando la (1), la (2) è evidentemente equivalente a  $\pm bJ = I_{CM}\omega_f$

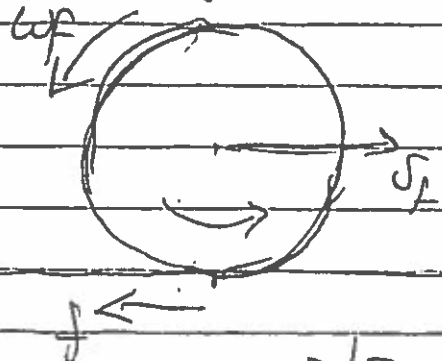
$$R_m\omega_f \pm b m\omega_f = I_{CM} + mR^2 \omega_f \quad (\text{se } \omega_f = D_f/R)$$

Dunque, in generale con l'eccezione di un punto ben parametrizzato si ha che  $b = I_{CM}/mR$  il moto trasporta strisciamento e dissipazione di energia per attrito.

A seconda che  $\omega_f \geq \mu_f/R$  la forza di attrito agisce riducendo o aumentando la velocità angolare



$$\omega_f > \mu_f/R$$



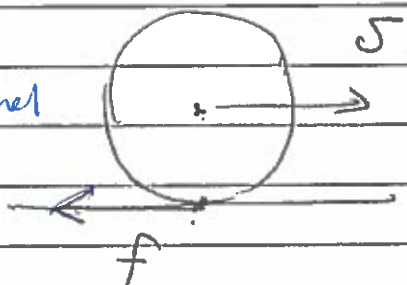
$$\omega_f < \mu_f/R$$

Il moto è descritto dalle equazioni cardinali per il corpo rigido, sotto l'azione della sola forza  $f$  (lungo  $\vec{x}$ ), poiché la forza impulsiva  $F$  agisce solo durante l'urto.

Consideriamo ad esempio il caso in cui  $\vec{b} = \vec{0}$      $w_f = \vec{0}$     e  $M\vec{f} = \vec{J}$

Eq. del moto (dopo l'urto):

$$\begin{cases} Ma_{CM} = -f \\ I\alpha = Rf \end{cases} \rightarrow \text{Polo nel CM}$$



$$C.I. \quad w_0 = \vec{0}$$

$$M\vec{f} = \vec{J}$$

Non possiamo usare la condizione  $\alpha = a_{CM}/R$  poiché il moto non è di puro rotolamento.

La seconda equazione dice che il corpo ha accelerazione angolare costante e la velocità angolare cresce come

$$w(t) = w_0 + \frac{I}{Rf} t$$

Contemporaneamente il corpo decelerà (1^a eq. atti)

Quando  $w(t) = \omega(t)$  il moto diventa di puro rotolamento

Quando  $\omega(t)R = \sigma(t)$  il moto diventa di puro rotolamento

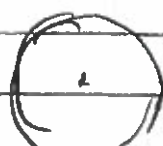
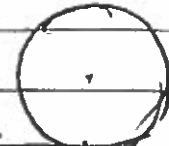
[come possiamo vedere con un semplice esperimento  $\rightarrow$  dimostrazione]

E' possibile calcolare la velocità del corpo nelle condizioni di puro rotolamento  
 \* Se si conosce la forza di attrito, ma ricorrendo alla CONSERVAZIONE DEL MOMENTO ANGOLARE

\* Poiché  $f$  è l'unica forza in gioco il momento torcente rispetto a un punto del piano è nullo:

$t_0$

$t'$



$$\vec{I}_c = \vec{r}_c \times \vec{f} = 0 \quad \vec{I}_{c'} - \vec{r}_{c'} \times \vec{f} = 0 \quad (\vec{r}_{c'} \parallel \vec{f})$$

Dunque  $\Delta I_c = 0$

All'inizio del moto:  $\omega = 0 \quad I_c(0) = m v^2 R \quad (= RJ^2)$   
 Al tempo  $t$ :  $\omega \neq 0 \quad I_c(t) = m v^2 R + I \omega^2$

con le condizioni  $WR = v$

$$I_c = I_c \omega = I \omega + m R^2 \omega^2$$

$$= I \omega + m R^2 \omega^2$$

Dunque :

$$m\sqrt{v_0}R = (mR^2 + I)\omega$$

$$\sqrt{v_0} = \left(1 + \frac{I}{mR^2}\right)^{-\frac{1}{2}}$$

Potremo anche scrivere

$$v = v_0 \sqrt{\frac{1}{1 + k^2 R^2}} < v_0$$

la velocità del CM diminuisce per due effetti -

\* Parte dell'energia cinetica è dissipata (friction)

\* Parte dell'energia cinetica di traslazione è trasformata in energia di rotazione

Quando  $v = \omega R$  il moto prosegue con  $v = \text{cost}$   
→ l'elitro statico non compie lavoro

(5)

Calcoliamo in modo esplicito l'energia dissipata (il lavoro della forza di attrito)

$$L_{\text{attrito}} = \Delta E_K$$

$$= \frac{1}{2} m \dot{\nu}_{\infty}^2 + \frac{1}{2} I \omega^2 - \frac{1}{2} m \dot{\nu}_0^2$$

$$= \frac{1}{2} m \dot{\nu}_0^2 + \frac{1}{2} \frac{m k^2}{R^2} \dot{\nu}_0^2 - \frac{1}{2} m \dot{\nu}_0^2$$

$$= \frac{1}{2} m \left( 1 + \frac{k^2}{R^2} \right) \dot{\nu}_0^2 - \frac{1}{2} m \dot{\nu}_0^2$$

Sappiamo che  $\dot{\nu} = \frac{\dot{\nu}_0}{1 + k^2/R^2}$ , dunque:

$$L_{\text{attrito}} = \frac{1}{2} m \left( \frac{1 + k^2}{R^2} \right) \dot{\nu}_0^2 - \frac{1}{2} m \dot{\nu}_0^2$$

$$= \frac{1}{2} m \dot{\nu}_0^2 \left( \frac{1}{1 + k^2/R^2} - 1 \right)$$

$$= - \frac{k^2/R^2}{1 + k^2/R^2} E_K(0) < 0$$

L'energia dissipata è maggiore, tanto maggiore è il raffreddatore.

Per un anello  $k = R \rightarrow$  metà

dell'energia è dissipata prima di raffreddare le condizioni di zero estableimento

## STATICA DEL CR

Le equazioni cardinali nel limite statico definiscono dei equazioni scalari

$$\overrightarrow{R} = 0, \quad \overrightarrow{\tau} = 0$$

Per la seconda equazione si puo' scegliere sfruttare l'arbitrarieta' delle scelta' del polo per semplificare il problema.

FORZE COPLANARI - In una vasta classe di problemi si presentano forze copiane (che agiscono tutte nello stesso piano)

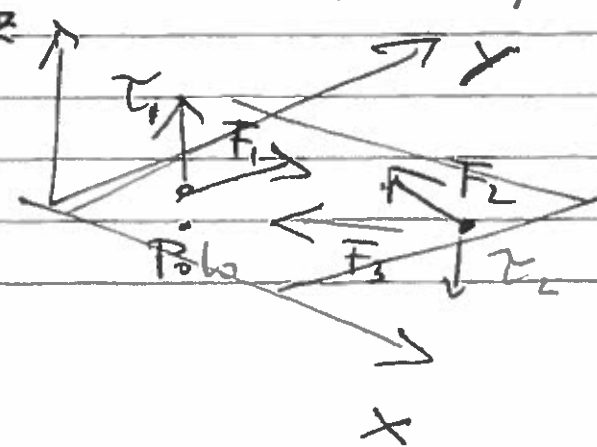
- In questa situazione le equazioni statiche da analizzare sono solo tre

- Scelto il piano XY come piano che contiene le forze e scelto un polo coplanare (un polo che piace in XY), le relazioni:

$R_x = 0; \quad \tau_x = 0; \quad \tau_y = 0$   
 conseguono in modo ovvio e le condizioni da verificare per l'equilibrio

sono

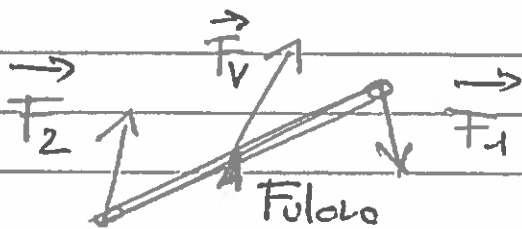
$$\left\{ \begin{array}{l} R_x = 0 \\ R_y = 0 \\ \tau_z = 0 \end{array} \right.$$



LEVE:

Una semplificazione ottimale si ha nell'analisi delle condizioni di equilibrio delle leve

- LEVE: GARANTITE DALLA IN PUNTO FISSO  
PUNTO FULCRO



$$\text{Eq. } F_{1x} + F_{2x} + F_{Vx} = 0$$

$$F_{1y} + F_{2y} + F_{Vy} = 0$$

$$\text{Eq. delle } \rightarrow F_2 b_2 \sin \beta_2 + F_1 b_1 \sin \beta_1 = 0$$

POLO NEL FULCRO: L'equazione per il momento torcente non contiene la forza delle reazioni vincolare

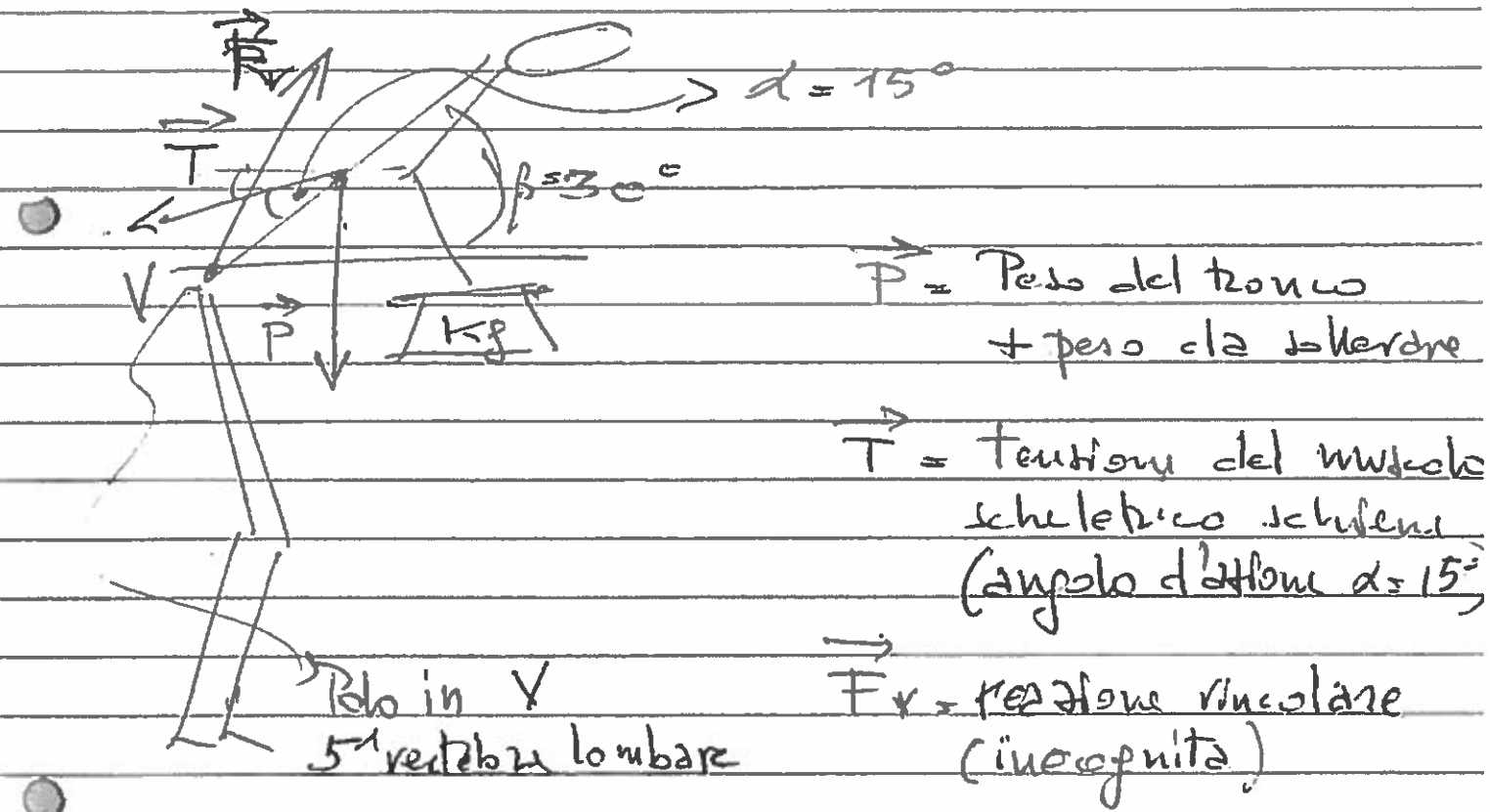
→ Non occorre conoscere  $F_V$  per definire l'equilibrio di una leva.

→ ovviamente occorre conoscere  $F_V$  (dalle condizioni su  $R_x$  e  $R_y$ ) per verificare se il fulcro puo' reggere il carico

- A seconda della disposizione di fulcro e delle forze (motrice e resistente) si ha una certa classificazione delle leve
- Non c'è interno - l'analisi precedente contiene tutti gli elementi e le generalità necessarie

## Esercizio : FORZE AGENTI SULLA SCHIENA

— Si calcoli la reazione vincolare esercitata dalla 5<sup>a</sup> vertebra lombare quando si solleva un corpo zoolabbiando la schiena (re-l: fizzy)



Equilibrio:

$$\begin{cases} F_{xx} = T \cos(\beta - \alpha) & \text{asse x} \\ F_{xy} = T \sin(\beta - \alpha) + P & \text{asse y} \\ P \sin\left(\frac{\pi}{2} - \beta\right) = T \sin \alpha & P_2 = 0 \end{cases}$$

Si ricava  $T$  dalla terza e si sostituisce in 1) e 2) —

$$F_y = \left[ F_{xx}^2 + F_{xy}^2 \right]^{1/2} \approx 2P$$

→ White plastic dei dischi